

# 斜水路下流部に配置された円筒形ブロックを用いた跳水制御に関する実験的研究

Control of hydraulic jump in stilling basin with cylinder type baffle blocks constructed at downstream of steep channel

鬼東幸樹\*・秋山壽一郎\*\*・重枝未玲\*・中川達矢\*\*\*・尾関弘明\*\*\*\*

Kouki ONITSUKA, Juichiro AKIYAMA, Mirei SHIGE-EDA, Tatsuya NAKAGAWA and Hiroaki OZEKI

\*博(工) 九州工業大学助教授、工学部建設社会工学科(〒804-8550 北九州市戸畠区仙水町1-1)

\*\*Ph.D 九州工業大学教授、工学部建設社会工学科

\*\*\*学(工) タマホーム(〒812-0013 福岡市博多区博多駅東1-18-1)

\*\*\*\*学(工) 九州工業大学大学院工学研究科建設社会工学専攻

A habitat of the migratory fish is separated after construction of a drop dissipater in rivers. This is because fish cannot migrate over the large water difference. Recently, a construction method by making use of both a steep channel and pool has attracted a great deal of public attention, due to the migration is possible. The hydraulic jump may occur in the pool when the river is flooded. If the location of the hydraulic jump can be controlled, the cost decreases. Energy dissipaters such as USBR type I, II III and IV have been used to control the location of the hydraulic jump at the spillway of the dam. However, such a structure is not suitable for the river, because the shape is not suitable from a point of view of landscape. Yasuda pointed out that the cylinder type blocks are suitable. In contrast, it is desired that all blocks receive the same drag. In this study, arrangement of the circle blocks and also the inlet Froude number were changed systematically and drag and lift force are measured. A formula which can predict the drag and lift force is suggested.

*Key Words:* hydraulic jump, steep channel, energy dissipater, landscape

## 1. はじめに

河床の安定などの目的で、近年まで落差工を用いた河川工事が全国各地で行われてきた。しかし、落差工を設置すると、魚類等の河川縦断方向の移動が困難となる。そのため落差工を撤去し、代わりに魚の遡上および降下が可能な斜水路の設置が試みられている<sup>1,2)</sup>。これは、河道の大部分の区間の水路床勾配を緩やかにし、一部の短い区間の水路床勾配を1/10程度の急勾配にして高低差を吸収するものである。洪水時に流れが斜水路に流入すると射流になることが多く、したがって、斜水路の下流側で再び緩勾配に変化する際に、跳水が発生する。跳水による河床洗掘を避けるために、斜水路下流側には平坦河床とその下流部に段上がりが設置される。こうした平坦河床と段上がりで構成される部分をプール部という。

斜水路を設計する上で、プール部を極力短くすること、

すなわち、跳水長を極力短くすることが望まれる。大津<sup>4)</sup>およびOhtsu *et al.*<sup>5)</sup>は極めて短区間だけが段上がりとなっている鉛直シルを有する流れを対象とし、シル前面で跳水が発生した場合の跳水長が跳水始端および終端の水深と関係があることを示した。Hager & Bretz<sup>6)</sup>は段上がりを有する流れにおける跳水長の定式化を行ったが、支配パラメータである流入フルード数と相対段上がり高さ(=エンドシルの高さ/流入水深)を系統的に変化させていない<sup>7)</sup>。近年、流入フルード数および相対段上がり高さを系統的に変化させた実験が行われ、段上がり前面で発生する跳水の跳水長が定式化された<sup>8)</sup>。ただし、この予測式では跳水の発生位置は予測できない。そのため、跳水位置を制御するために、通常ダムの余水吐きに用いられるUSBR-III型減勢池を河川用に改良した斜水路対応型USBR-III型減勢池を鬼東ら<sup>9)</sup>は提案した。ところが、斜水路対応型USBR-III型減勢池で用いられているバッフルブロックは人工的な

形状をしている。安田<sup>10</sup>は、射流の河川に設置するブロックは、自然石の形状に近い円筒形ブロックが好ましいことを述べている。したがって、人工的形状をしたバッフルの代わりに自然石を用いた円筒形ブロックを用いることが望ましいと考えられる。前報<sup>11)</sup>では、複数の円筒形ブロックを側壁と直角に配列したケース、水路中央で上流側に凸に配列したケースおよび下流側に凸に配列したケースにおいて、水面形およびブロックに作用する抗力および揚力を計測した。その結果、下流側に凸に配列した場合、側壁付近でスプレー状態となるため適切でないことが明らかにされた。しかし、支配パラメータである相対段上がり高さおよびフルード数を固定しており、上記の結論の適用範囲が不明確である。

本研究では、円筒形ブロックの横断配列およびフルード数を変化させて水面形、揚力、抗力などを計測し、円筒形ブロックを用いた減勢池の設計基準を検討した。

## 2. 実験装置および実験条件

流下方向に  $x$  軸、鉛直上向きに  $y$  軸、横断方向に  $z$  軸をとる。射流中にかく乱が与えられると、 $x$  軸に対して  $z$  方向に角度  $\theta$  の衝撃波が発生する<sup>12)</sup>。

$$\theta = \sin^{-1} Fr^{-1} \quad (1)$$

ここに、 $Fr$  はフルード数である。前報<sup>11)</sup>では洪水時のフルード数が 2~3 度であることから、 $Fr=2$  として式(1)より  $\theta=30^\circ$  を算出し、複数の円筒形ブロックを側壁と直角に配列したケース、水路中央で上流側に  $30^\circ$  および  $60^\circ$  に凸に配列したケース、下流側に  $30^\circ$  および  $60^\circ$  に凸に配列したケースの合計 5 ケースの配列を設定した。その結果、下流向きに凸にした場合は側壁付近でスプレー状態になるので適切ではないことを指摘した。そこで、本研究では、図-1 に示す 3 つの配列を検討対象とする。ここに、プール長  $L_p$ 、円筒形ブロックの高さ  $\Delta y_b$  およびエンンドシルの高さ  $\Delta y$  は USBR-III 型減勢池の設計規格<sup>13)</sup>に従った。そのため、流入フルード数  $Fr_1$  を与えるとブロックの数や位置および全ての幾何学条件が自動的に算出される。本研究では設計用の流入フルード数  $Fr_1$  を 2.0 とした。その結果、円筒形ブロックは横断方向に 13 個となった。なお、添字 1 および 2 はそれぞれ跳水始端および終端の諸量として用いる。

実験には長さ 20.5m、幅 0.6m、高さ 0.6m の循環式水路を用いた。水路内にスルースゲートを設け、その下流側に勾配が 1/10 で長さが 0.3m の斜水路を設けた。図-1 に示した 3 種類のブロック配列をそれぞれ減勢池に設定した。

実験条件を表-1 に示す。本研究が対象とする流れの支配パラメータはブロックの配列、流入フルード数  $Fr_1$  およ

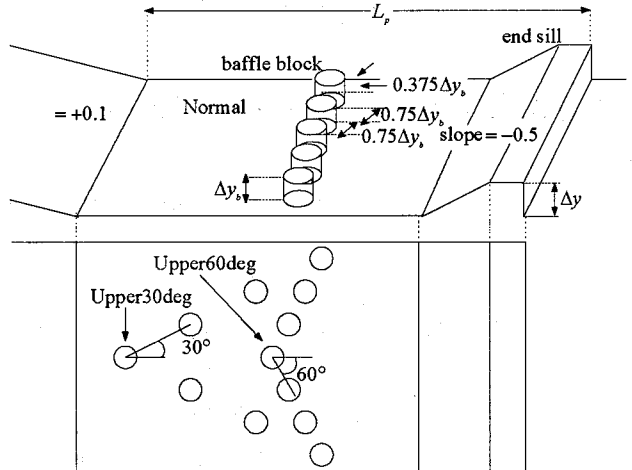


図-1 円筒形ブロックの配列

表-1 実験条件

$Fr_1$ Tip direction	2.5	3.0	3.5	4.0
Normal	F2.5h2.1N	F3.0h2.1N	F3.5h2.1N	F4.0h2.1N
Upper 30deg	F2.5h2.1U30	F3.0h2.1U30	F3.5h2.1U30	F4.0h2.1U30
Upper 60deg	F2.5h2.1U60	F3.0h2.1U60	F3.5h2.1U60	F4.0h2.1U60

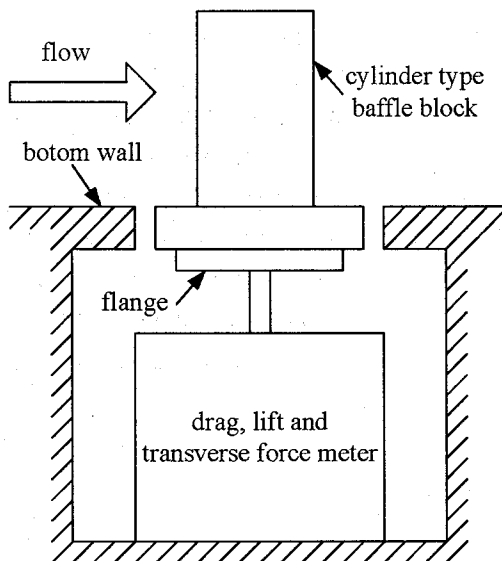


図-2 三分力計の設置方法

び相対段上がり高さ  $\Delta y/h_1$  の 3 つであるが、今回はブロックの配列および流入フルード数  $Fr_1$  の 2 つのパラメータを変化させた。実験ケース名として F2.5h2.1U30 などを用いるが、F に続く数字は流入フルード数  $Fr_1$  を、h に続く数字は相対段上がり高さ  $\Delta y/h_1$  を示しており、U は上流側に凸、N は傾斜していないことを示し、最後の 2 衔の数字は傾斜角度を意味する。以下では、幾何学形状別に行われた 3 つの実験グループを、N グループ、U30 グループおよび U60 グループと呼ぶ。ところで、複数の bluff body を通過する流れでは構造物背後の渦が干渉し合い、セイシュを発生させることがあるが、今回の実験ではそのような状

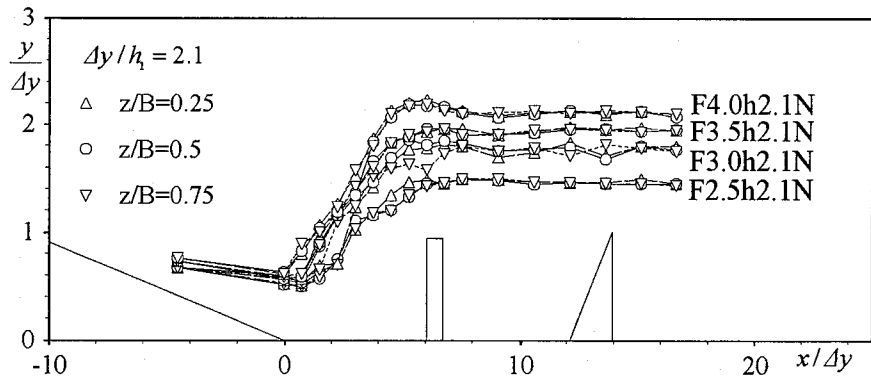


図-3(a) N グループの水面形

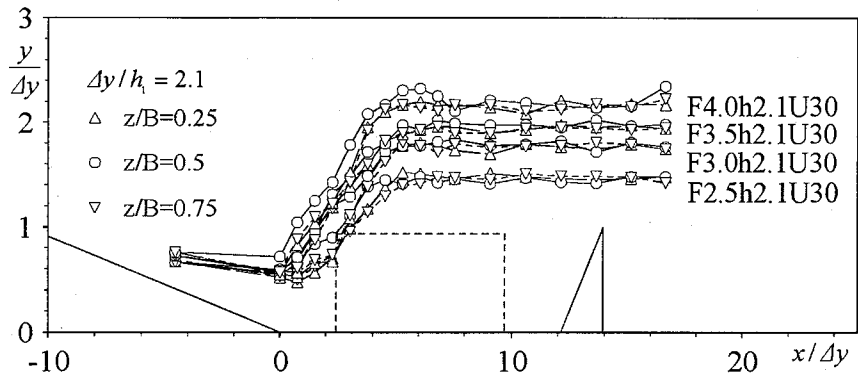


図-3(b) U30 グループの水面形

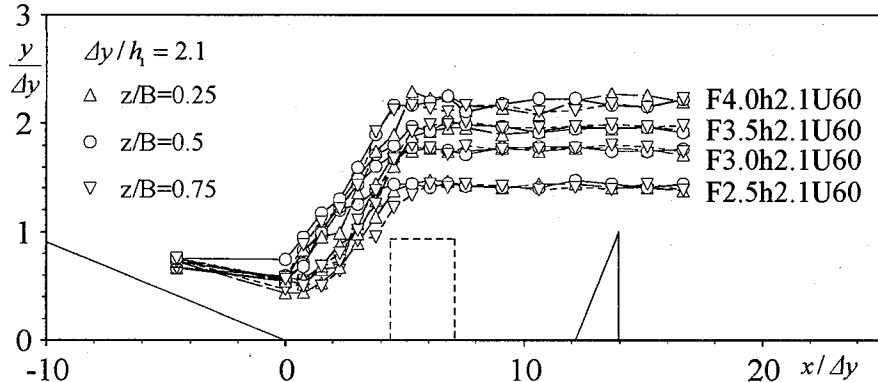


図-3(c) U60 グループの水面形

況は認められなかった。

デジタル式ポイントゲージを用いて  $z/B = 0.25, 0.5, 1.75$  の 3 断面において  $x$  方向の水面形を計測した。

横断方向に 13 個設置されている円筒形ブロックの内、最右岸および最左岸を除く 11 個の円筒形ブロックをそれぞれ図-2 に示すように三分力計のフランジに固定し、 $x$  方向に加わる力  $\tilde{F}_D$  および  $y$  方向に加わる力  $\tilde{F}_L$  を計測した。計測時間は 51.2s で計測間隔は 0.05s とした。三分力計のゼロ設定はフランジ以下がちょうど水没した状態で行ったので、得られる  $\tilde{F}_L$  にはブロックの浮力を含まれる、そのため、計測後に  $\tilde{F}_L$  から浮力を差し引いたものを新たに  $\tilde{F}_L$  と定義した。また、 $x, y$  方向の時間平均の流体力を  $F_D, F_L$  標準偏差を  $F_D', F_L'$  とした。

### 3. 実験結果および考察

#### (1) 水面形

図-3 に全ケースの水面形を示す。N グループでは横断方向に水面形がほとんど変化していない。また、フルード数の増加に伴い下流水深が増加している。U30 グループおよび U60 グループについては、跳水区間内の水路中央 ( $z/B = 0.5$ ) の水深が他の断面 ( $z/B = 0.25$  および 0.75) のものよりも若干高くなっている。これは、水路中央断面の円筒形ブロックが他のブロックよりも最も上流側に位置しているために、跳水の形態が 3 次元的になり、跳水の始端が横断方向に変化していることを示している。

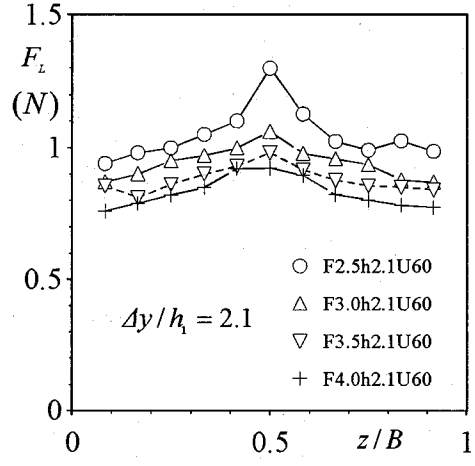
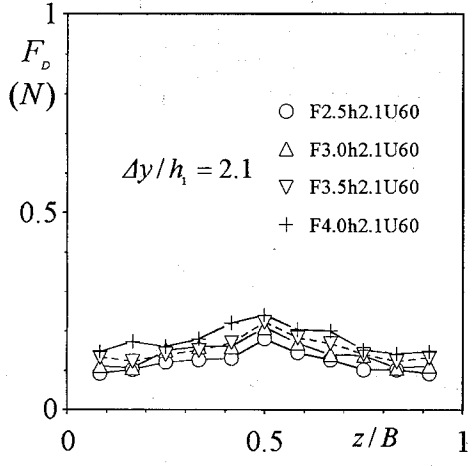
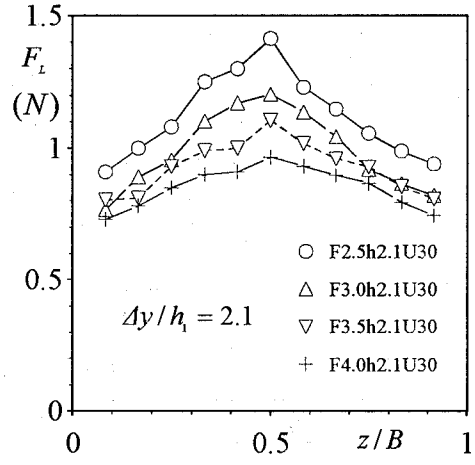
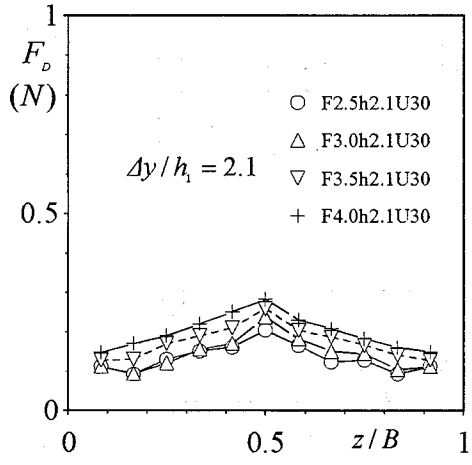
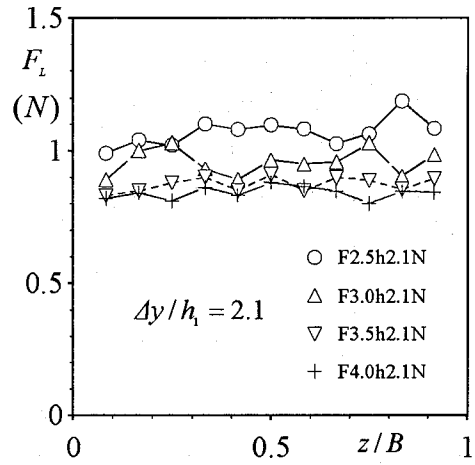
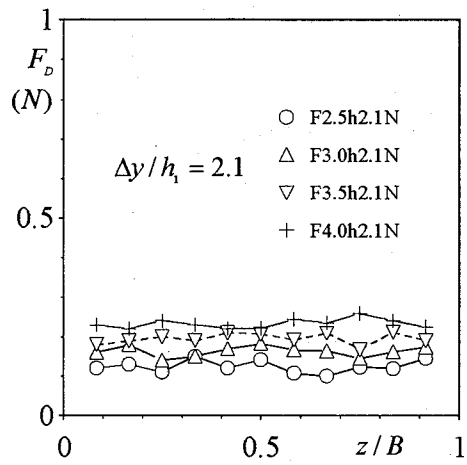


図-4 時間平均抗力（上からN, U30, U60 グループ）

## (2) 時間平均された流体力の特性

図-4に時間平均抗力 $F_D$ の横断方向分布を示す。Nグループでは時間平均抗力 $F_D$ が横断方向にほぼ同様な値を示しているのに対し、U30およびU60グループでは水路中央( $z/B=0.5$ )で最も大きく、右岸および左岸の両岸に近づくにつれ減少している。また、この変化率はU60グループよりもU30グループの方が顕著である。これは、図-3の水面形で示されたように、跳水の形状がNグループでは横断方向にほぼ一定であるのに対し、U30およびU60

グループでは横断方向に変化しているため、ブロックに衝突する流速が横断方向に異なっていることが原因の一つと考えられる。

一方、各グループにおいて同一の横断位置の時間平均抗力 $F_D$ に着目すると、流入フルード数 $Fr_1$ の増加に伴い増加している。これは、流入フルード数 $Fr_1$ の増加によって接近流速が増加しているために生じたものである。

図-5に時間平均揚力 $F_L$ の横断方向分布を示す。時間平均抗力と同様に、Nグループでは横断方向にほぼ同様な値

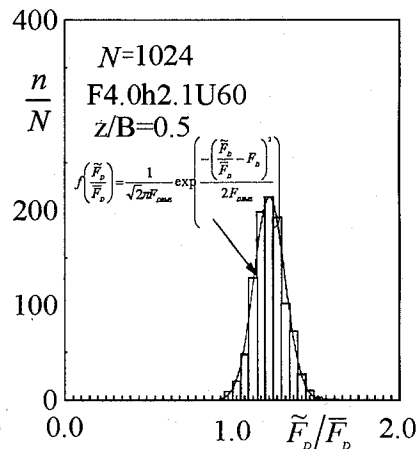
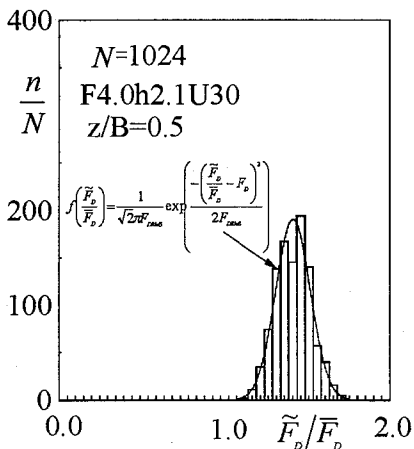
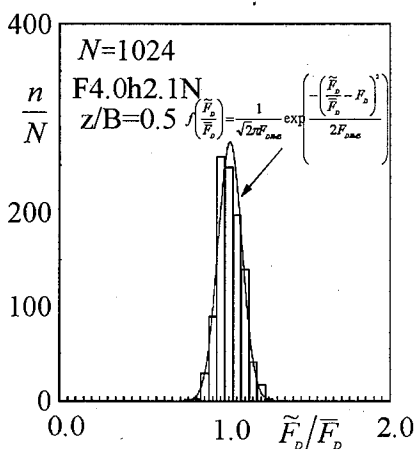
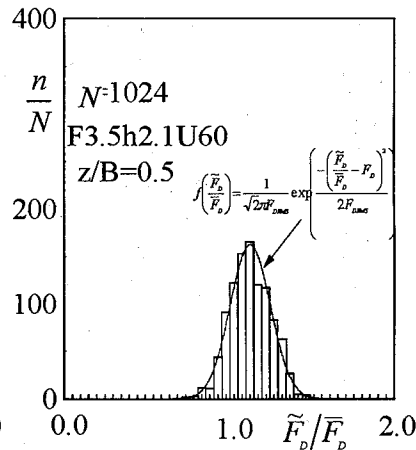
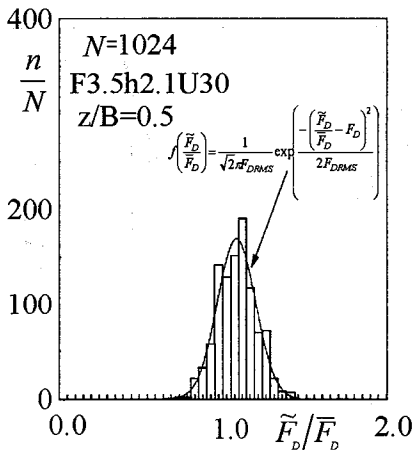
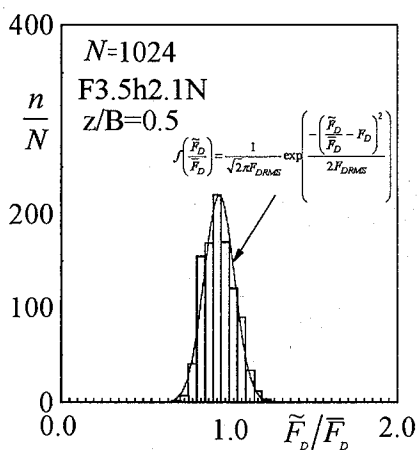
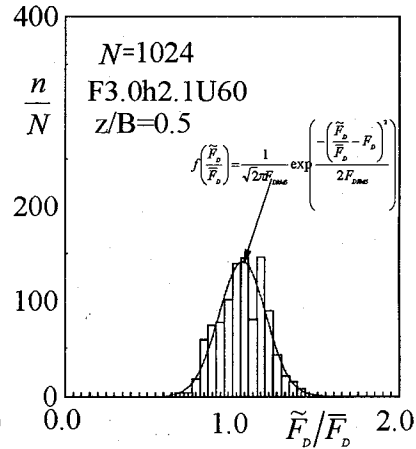
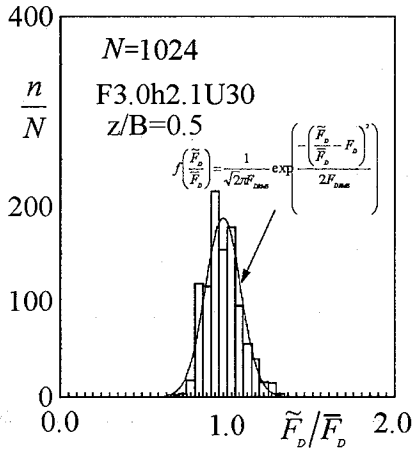
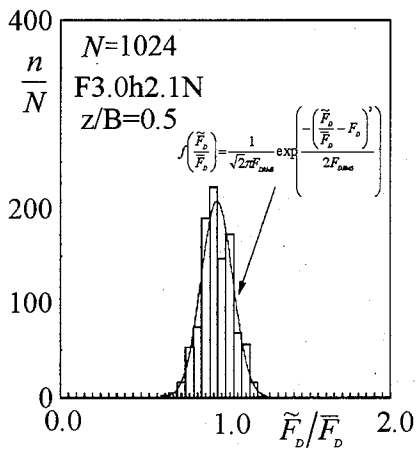
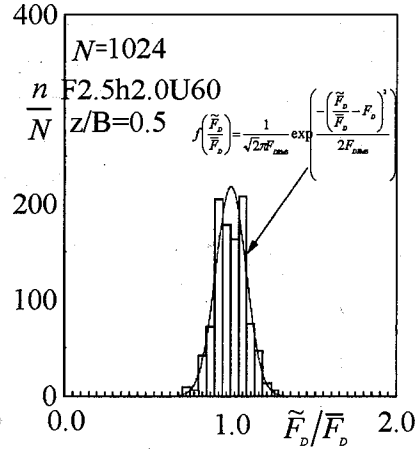
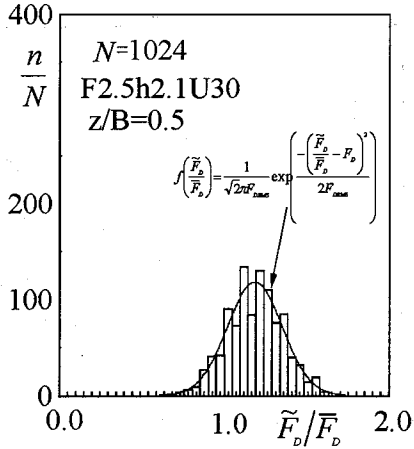
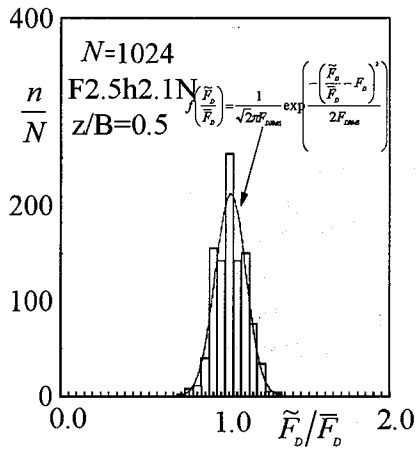


図-6(a) N グループの瞬間抗力  
(上から  $Fr_1=2.5, 3.0, 3.5, 4.0$ )

図-6(b) U30 グループの瞬間抗力  
(上から  $Fr_1=2.5, 3.0, 3.5, 4.0$ )

図-6(c) U60 グループの瞬間抗力  
(上から  $Fr_1=2.5, 3.0, 3.5, 4.0$ )

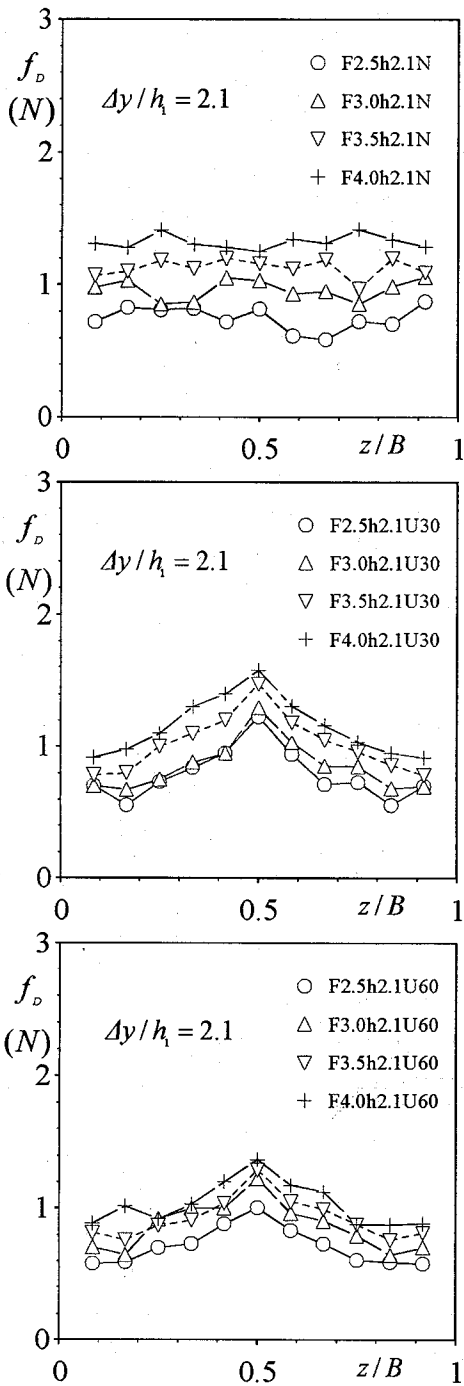


図-7 流下方向必要耐力

を示しているのに対し、U30 および U60 グループでは水路中央( $z/B=0.5$ )の時間平均揚力  $F_L$  が最も大きく、両岸に近づくにつれ  $F_L$  は減少している。これは、U30 および U60 グループでは水路中央で最もブロックへの接近流速が速いために、ブロックに衝突した後にブロック上部に跳ね上げられる効果が強くなるために、ブロック上部に強い負圧が生じたためと考えられるが、詳細な検討は後述する。

### (3) 円筒形ブロックの設置基準

円筒形ブロックの流出あるいは吸い出しあは時間平均された流体力ではなく、瞬間的な流体力によるものと考えら

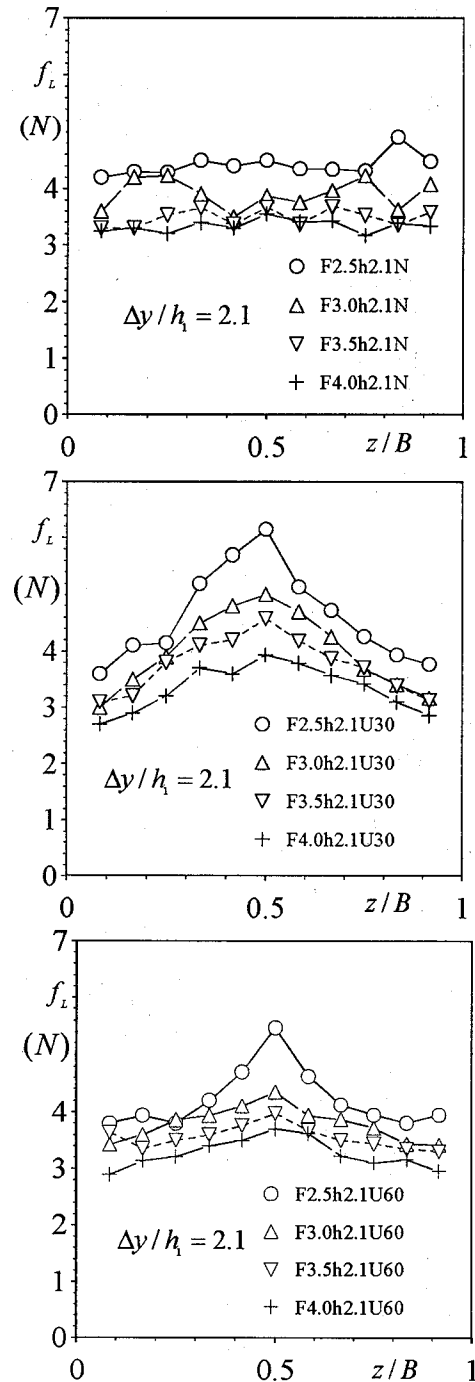


図-8 鉛直方向必要耐力

れる。そのため、瞬間的な流体力を把握することが必要となる。図-6に全グループの瞬間抗力  $\tilde{F}_D$  を時間平均抗力の横断平均値  $\bar{F}_D$  で無次元化したヒストグラムの例を示した。同図には次式の正規分布を実線で示している。

$$f\left(\frac{\tilde{F}_D}{\bar{F}_D}\right) = \frac{1}{\sqrt{2\pi}F_D'} \exp\left(-\left(\frac{\tilde{F}_D}{\bar{F}_D} - F_D'\right)^2 / 2F_D'^2\right) \quad (2)$$

全てのグループの瞬間的な抗力の分布が式(2)で表現されている。そのため、瞬間的な抗力の特性を、時間平均の抗力  $F_D$  およびその標準偏差  $F_D'$  で表現可能と判断できる。なお、揚力についても同様の結果を得た。

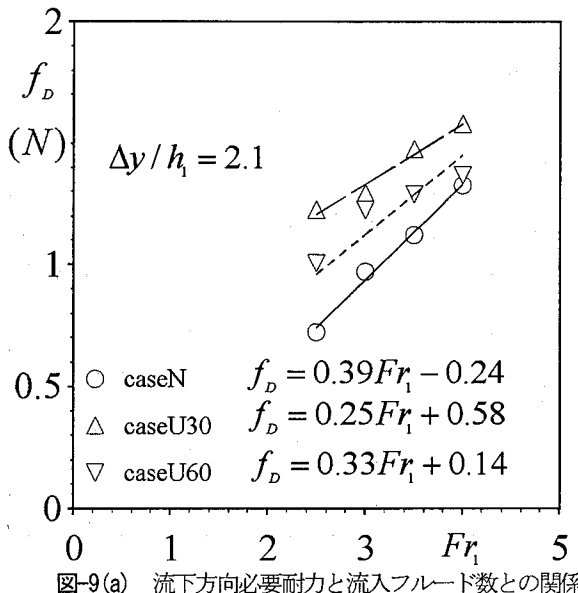


図-9(a) 流下方向必要耐力と流入フルード数との関係

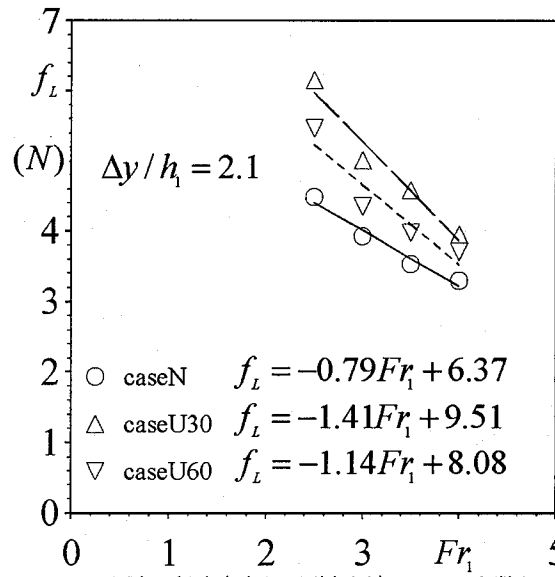


図-9(b) 鉛直方向必要耐力と流入フルード数との関係

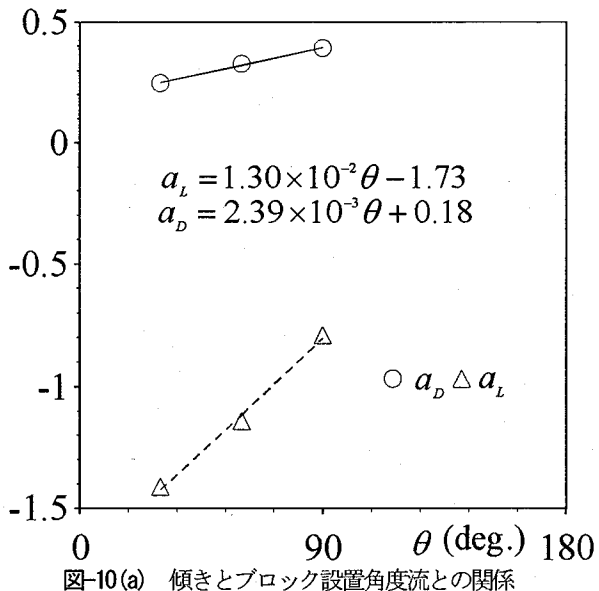


図-10(a) 傾きとブロック設置角度流との関係

瞬間的な流体力の変動成分を考慮すると、ブロックに必要な流下方向の無次元耐力  $f_D$  は次式で表される。

$$f_D = \frac{F_D + nF_D'}{W} \quad (3)$$

ここに、 $W$  はブロックの自重で  $n$  は安全率である。本研究では自然石を河川に設置することを想定しているため、ブロックの自重は自然石の値を用いた。一方、ブロックに必要な鉛直方向の無次元耐力  $f_L$  は水中自重  $W_s$  を考慮すると次式となる。

$$f_L = \frac{F_L + nF_L' - W_s}{W} \quad (4)$$

安全率  $n$  は任意に決められるが、仮に 99.7% の信頼が要求される場合は  $n=3$  となる。この時の  $f_D$  および  $f_L$  を図-7 および図-8 にそれぞれ示す。N グループでは、 $f_D$  および  $f_L$  共に横断方向にはほぼ一定である。一方、U30 および U60 グループでは、 $f_D$  および  $f_L$  共に水路中央 ( $z/B=0.5$ ) で最も大きな値となっている。そこで、安全を考慮し、それぞ

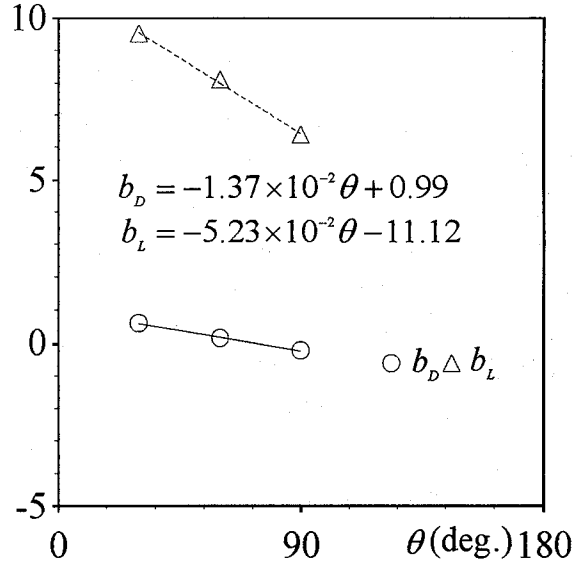


図-10(b) 切片とブロック設置角度流との関係

れのケースにおいて、横断面内で最も大きな  $f_D$  および  $f_L$  を必要耐力として扱う。

ブロックの流下方向必要耐力  $f_D$  および鉛直方向必要耐力  $f_L$  は本来、流れの支配パラメータであるブロックの配列、流入フルード数  $Fr_1$  および相対段上がり高さ  $\Delta y/h_1$  の 3 つによって決定される。ただし、本研究では相対段上がり高さ  $\Delta y/h_1$  を 2.1 に固定しているため、ここでは、 $f_D$  および  $f_L$  をブロックの配列および流入フルード数  $Fr_1$  の関数として定式化を試みる。図-9 は  $f_D$  および  $f_L$  と流入フルード数  $Fr_1$  との関係を示したものである。いずれのグループにおいても、流入フルード数  $Fr_1$  が増加すると流下方向必要耐力  $f_D$  は線形的に増加し、鉛直方向必要耐力  $f_L$  は線形的に減少している。そこで、 $f_D$  および  $f_L$  と流入フルード数  $Fr_1$  との関係をそれぞれ次式で近似する。

$$f_D = a_D \times Fr_1 + b_D \quad (5)$$

$$f_L = a_L \times Fr_1 + b_L \quad (6)$$

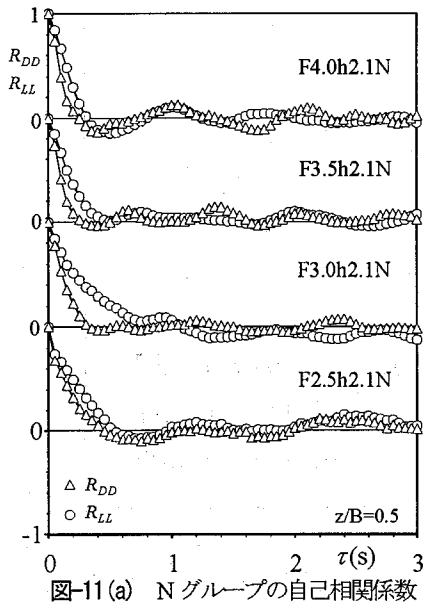


図-11(a) N グループの自己相関係数

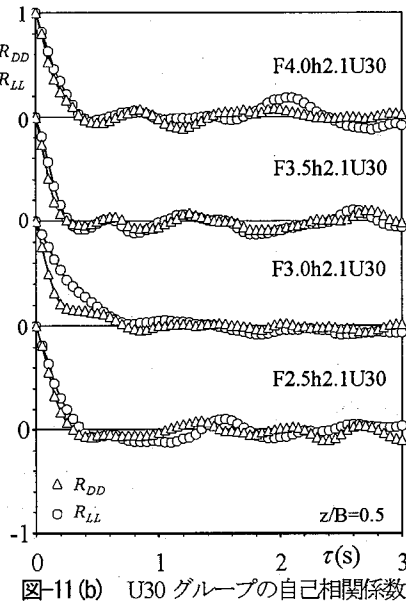


図-11(b) U30 グループの自己相関係数

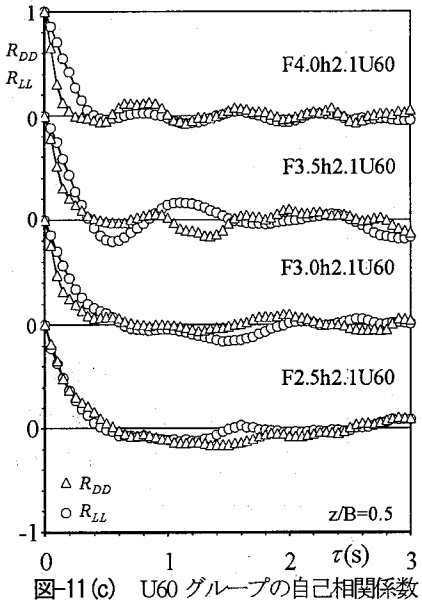


図-11(c) U60 グループの自己相関係数

$f_D$  および  $f_L$  とも流入フルード数  $F_r_1$  との関係がそれぞれ式(5)および(6)で再現されていると判断される。傾き  $a_D$ ,  $a_L$  および切片  $b_D$ ,  $b_L$  はブロックの配列のみに支配される。そこで、図-10に  $a_D$ ,  $a_L$ ,  $b_D$ ,  $b_L$  とブロックの傾斜角  $\theta$  との関係を示す。全ての傾きおよび切片がブロックの傾斜角  $\theta$  と一義的な関係があると判断される。そこで、 $a_D$ ,  $a_L$ ,  $b_D$ ,  $b_L$  とブロックの傾斜角  $\theta$  との関係をそれぞれ回帰分析より、次式のように求めた。

$$a_D = 1.50 \times 10^{-3} \times \theta + 9.67 \times 10^{-2} \quad (7)$$

$$a_L = 7.00 \times 10^{-3} \times \theta - 1.10 \quad (8)$$

$$b_D = -8.50 \times 10^{-3} \times \theta + 0.65 \quad (9)$$

$$b_L = -3.40 \times 10^{-2} \times \theta + 6.98 \quad (10)$$

$$(\Delta y/h_1 = 2.1, 2.5 \leq F_r_1 \leq 4.0, 30^\circ \leq \theta \leq 90^\circ)$$

式(5)～(10)より、相対段上がり高さ  $\Delta y/h_1$  が 2.1、流入フルード数  $F_r_1$  が 2.5～4.0、ブロックの傾斜角  $\theta$  が 30～90° の範囲における、ブロックの流下方向必要耐力  $f_D$  および鉛直方向必要耐力  $f_L$  を算出することが可能となった。

#### (4) ブロック周辺の流れの構造

ブロックに必要な耐力が解明されたが、ブロック周辺の流れの構造が解明されていない。ブロック周辺で発生する跳水の始端は時間平均的には変化しないが、瞬間的には上下流に振動している。跳水の始端が振動すると、水深および流速が変化するため、ブロックに作用する流体力も変化すると考えられる。そこで、瞬間抗力  $\tilde{F}_D$  および瞬間揚力  $\tilde{F}_L$  の自己相関係数  $R_{DD}$  および  $R_{LL}$  をそれぞれ次式で算出した。

$$R_{DD}(\tau) = \frac{\overline{\tilde{F}_D(t) \times \tilde{F}_D(t+\tau)}}{\tilde{F}_D^2} \quad (11)$$

$$R_{LL}(\tau) = \frac{\overline{\tilde{F}_L(t) \times \tilde{F}_L(t+\tau)}}{\tilde{F}_L^2} \quad (12)$$

ここに、 $t$  は時間、 $\tau$  は遅れ時間である。図-11に全ケースの水路中央断面( $z/B = 0.5$ )における自己相関係数  $R_{DD}$  および  $R_{LL}$  を示す。N, U30 および U60 グループのいずれにおいても、流入フルード数  $F_r_1$  が 2.5 の場合は 1.5s 程度の遅れ時間でピークが観察される。また、流入フルード数  $F_r_1$  の増加に伴いピークが発生する遅れ時間が短くなっている。これは、流入フルード数  $F_r_1$  の増加に伴い、跳水先端が上下流に振動する周期が短くなっていることを示すものと考えられる。グループ間の差違は特に認められない。

続いて、瞬間抗力  $\tilde{F}_D$  と瞬間揚力  $\tilde{F}_L$  との関係について考察する。両者の関係は、次式の相互相関係数  $R_{DL}$  で推測することが可能である。

$$R_{DL}(\tau) = \frac{\overline{\tilde{F}_D(t) \times \tilde{F}_L(t+\tau)}}{\tilde{F}_D \times \tilde{F}_L} \quad (13)$$

図-12に全ケースの水路中央断面( $z/B = 0.5$ )における相互相関係数  $R_{DL}$  を示す。全ケースにおいて、相互相関係数  $R_{DL}$  は、遅れ時間の進行に伴い一度ピークを示した後に値が減少している。これは、瞬間抗力  $\tilde{F}_D$  が極大値をとった瞬間から多少時間が経過した後に瞬間揚力  $\tilde{F}_L$  が極大となることを意味している。また、ピーク時間が発生する時刻は N, U30 および U60 グループのいずれにおいても流入フルード数  $F_r_1$  の増加に伴い減少する傾向にあり、 $F_r_1$  が 2.5 の時は  $\tau = 0.2s$  程度で、 $F_r_1$  が 4.0 の時は  $\tau = 0.1s$  程度である。以上のことから流れの構造が次のように推測される。跳水先端が上下流に振動するのに伴い、接近流速が変化する。接近流速が速い場合、ブロックへの瞬間抗力  $\tilde{F}_D$

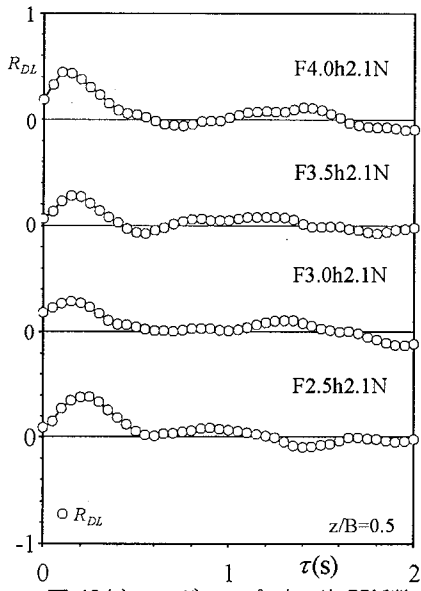


図-12(a) N グループの相互相関係数

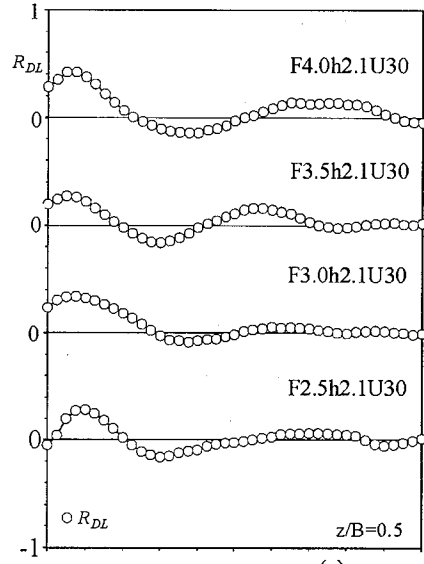


図-12(b) U30 グループの相互相関係数

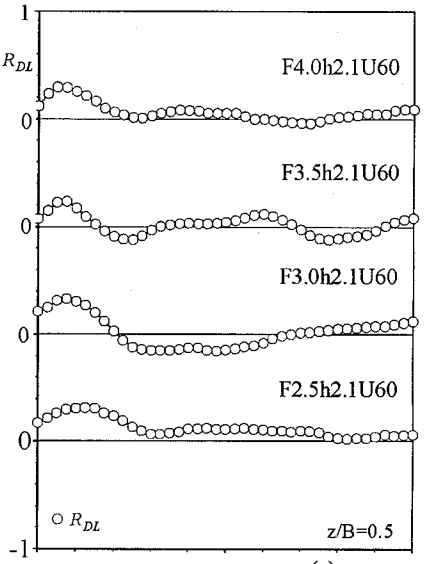


図-12(c) U60 グループの相互相関係数

が増加し、ブロックに衝突した後の流れがブロック上部に跳ね上がる。このとき、流入フルード数が増加すると接近流速も増加するために、跳ね上がる速度が増加する。そのため、流入フルード数の増加に伴い、極大の瞬間揚力が発生してから極大の瞬間揚力が発生するまでの時間が短くなるものと考えられる。

#### 4. おわりに

本研究は、円筒形ブロックの横断配列およびフルード数を変化させて水面形、揚力、抗力などを計測し、円筒形ブロックを用いた減勢池の設計基準を検討したものである。その結果、以下のよう結論を得た。

- (1) 相対段上がり高さ  $\Delta y/h_1$  が 2.1、流入フルード数  $F_{f_1}$  が 2.5~4.0、円筒形ブロックの傾斜角  $\theta$  が 30~90° の範囲においては、円筒形ブロックの流下方向必要耐力  $f_D$  および鉛直方向必要耐力  $f_L$  が式(5)~(10)を用いることで算出可能となった。
- (2) 跳水先端が上下流に振動するのに伴い、接近流速が変化しているが、接近流速が速い時、ブロックへの瞬間揚力が増加する。この直後に、ブロックに衝突した後の流れがブロック上部に跳ね上がるが、流入フルード数が増加すると接近流速も増加するために、跳ね上がる速度が増加する。そのため、流入フルード数の増加に伴い、極大の瞬間揚力が発生してから極大の瞬間揚力が発生するまでの時間が短くなると考えられる。

謝辞：本実験を行うに当たり、当時九州工業大学学部生の

畠中弘憲および中川由美子の両氏の協力をいただいた。ここに記して謝意を表す。

#### 参考文献

- 1) 横口明彦、川からのまちづくり研究会：川づくりをまちづくりに、学芸出版社、p.135-145、2003.
- 2) 渡辺義則、釤原直樹、秋山壽一郎、永瀬英生、廣岡明彦、寺町賢一、鬼東幸樹：平成14年度九州工業大学地域貢献特別支援事業報告書、2003.
- 3) 渡辺義則、釤原直樹、秋山壽一郎、永瀬英生、廣岡明彦、寺町賢一、鬼東幸樹：平成15年度九州工業大学地域貢献特別支援事業報告書、2004.
- 4) 大津岩夫：鉛直シルによる強制跳水、土木学会論文報告集、第311号、pp.59-69、1981.
- 5) Ohtsu, I., Yasuda, Y. and Yamanaka, Y.: Drag on vertical sill of forced jump, *Journal of Hydraulic Research*, IAHR, Vol.29, No.1, pp.29-47, 1991.
- 6) Hager, W.H. and Bretz, N.V.: Hydraulic jump at positive and negative steps, *Journal of Hydraulic Research*, IAHR, Vol.24, No.4, pp.237-253, 1987.
- 7) Forster, J.W. and Skrinde, R.A.: Control of the hydraulic jump by sills, *Transactions of ASCE*, Vol.115, pp.973-1022, 1949.
- 8) Onitsuka, K., Akiyama, J., Isechi, H. and Kiuchi, D.: Length of hydraulic jump on horizontal bed with abrupt rise, *Environmental Hydraulics and Sustainable Water Manag.*, Vol.2 (Eds. J.H.W. Lee & K.M. Lam), AA. Balkema Publishers, UK, pp.1703-1710, 2004.
- 9) 鬼東幸樹、秋山壽一郎、伊瀬知洋人、首藤健次：USR-II型減勢池を用いた斜水路下流部での跳水制御に関する実験的研究、水工学論文集、第49巻、pp.853-858、2005.
- 10) 安田陽一：流れの景観からみた局所流の流況特性、ながれ、Vol.23, pp.87-95, 2004.
- 11) 鬼東幸樹、秋山壽一郎、重枝未玲、中川達矢：斜水路下流部における円筒形ブロックの横断配列の相違による流体力の変

- 化, 水工学論文集, 第50巻, CD-ROM版, 2006.
- 12) 椿東一郎: 水理学I, 森北出版, p.139-143, 1991.
- 13) 米国内務省開拓局(日本大ダム会議訳): ダムの計画と設計,  
日本大ダム会議, 1970.

(2006年4月13日 受付)